

**СПИСОК ЦИТИРОВАННЫХ ИСТОЧНИКОВ**

1. Здания и сооружения. Основные требования к техническому состоянию и обслуживанию строительных конструкций и инженерных систем, оценке их пригодности к эксплуатации. СНБ 1.04.01-04. – Мн.: Стройтехнорм, 2002. – 20 с.
2. Надежность строительных конструкций и оснований. Основные положения по расчету: ГОСТ 27751–88. – Введ. 01.01.1995. – СССР.: ЦНИИСК, 1988. – 9 с.
3. Ремонт, реконструкция и реставрация жилых и общественных зданий и сооружений. СНБ 1.04.02-02. – Мн.: Стройтехнорм, 2004. – 18 с.
4. Онуфриев, Н.М. Усиление железобетонных конструкций промышленных зданий и сооружений / Н.М. Онуфриев. – М.: Стройиздат, 1965. – 342 с.
5. Хило, Е. Р. Усиление строительных конструкций / Е.Р. Хило, Б.С. Попович. – Львов: Вища школа. Изд-во при Львов. университете, 1985. – 156 с.
6. Уласевич, В.П. Деформационный расчет гибких балочно-вантовых систем методом конечных элементов в среде MathCAD / В.П. Уласевич, О.В. Костюк // Вестник БрГТУ. – 2004. № 1(25): Строительство и архитектура. – С. 111–117.
7. Уласевич, В.П. Прямолинейный гибкий стержень как универсальный конечный элемент в расчетах гибких стержневых систем методом конечных элементов / В.П. Уласевич, О.В. Костюк // Вестник БрГТУ. – 2007. – № 1(48): Строительство и архитектура. – С. 45–49.
8. Уласевич, В.П. Гибкие балочно-вантовые системы в конструктивных схемах усиления перекрытий / В.П. Уласевич, О.В. Костюк // Вестник БрГТУ. – 2007. – № 1 (48): Строительство и архитектура. – С. 50–55.
9. Сидорович, Е.М. Динамика и устойчивость сооружений. Численные методы решения задач: учебное пособие / Е.М. Сидорович. – Мн.: БНТУ, 2006. – 246 с.
10. Игнатюк, В.И. Метод конечных элементов в расчетах стержневых систем: учебное пособие / В.И. Игнатюк. – Брест: БрГТУ, 2004. – 172 с.
11. Роль искусственного регулирования усилий при усилении несущих строительных конструкций с применением гибких балочно-вантовых систем / В.П. Уласевич, О.В. Костюк // Вестник БрГТУ. – 2005. – № 2(32): Строительство и архитектура. – С. 36–39.

*Материал поступил в редакцию 17.01.08*

**ULASEVICH V.P., KOSTIUK O.V. Deformation a method of account a beam-vant of systems and his role in designing amplification of designs of overlappings**

In clause the system of the basic permitting equations deformation of a method of account of the systems, combined a beam-vant is stated. The matrixes of internal rigidity by functions which are taking into account a longitudinal - cross bend and possible ways of interface of the ends KE with units are given. The basic circuit of formation of a matrix of external rigidity, and its nonlinear communication with a vector of central efforts through system of the nonlinear permitting equations KE " a Rectilinear flexible core " concerning basic reactions of a beginning and end KE is shown. The analysis of the ways, accepted in a method, of the decision of system of the permitting equations is given.

The role deformation of a method of account is shown during designing the systems, combined a beam-vant, for amplification a beam of designs of overlappings and coverings.

УДК 741.02:519

**Игнатюк В.И., Игнатов А.Ю.**

**ДЕФОРМИРОВАНИЕ ПРОСТРАНСТВЕННОГО СТЕРЖНЕВОГО КОНЕЧНОГО ЭЛЕМЕНТА, УПРУГО-ПОДАТЛИВО ПРИСОЕДИНЕННОГО К УЗЛАМ**

**Введение.** Расчет сооружений методом конечных элементов широко распространен в настоящее время. При этом учет всех особенностей работы сооружений остается актуальной задачей. Соединение в стержневых системах конечных элементов между собой в узлах в большинстве случаев не бывает идеально шарнирным или абсолютно жестким. Поэтому учет упруго-податливого присоединения стержневых конечных элементов к узлам является необходимым и актуальным.

**Постановка задачи.** Рассматривается расчет пространственных стержневых систем методом конечных элементов [1] с учетом упругой податливости узловых соединений [2]. Пусть основное разрешающее уравнение метода конечных элементов

$$[K] \cdot \{\Delta\} = \{F\} \quad (1)$$

решено и определены перемещения узлов ( $\Delta_i$ ) расчетной дискретной модели системы, которые равняются соответствующим перемещениям концов пространственных конечных элементов ( $\delta_s$ ), присоединяемых к этим узлам. Таких перемещений в каждом узле будет шесть – три линейных перемещения по направлениям осей  $X$ ,  $Y$  и  $Z$  общей системы координат и три угла поворота относительно этих осей (рис. 1). В (1) обозначено:  $[K]$  – матрица жесткости системы;  $\{\Delta\}$  – вектор перемещений узлов системы;  $\{F\}$  –

вектор внешних узловых нагрузок.

Получим зависимости для определения перемещений сечений пространственного стержневого конечного элемента, упруго-податливого присоединяемого к узлам расчетной дискретной модели системы, в зависимости от перемещений узловых точек расчетной дискретной модели и действующих на стержни распределенных нагрузок. При этом зависимости для конечного элемента получим сначала в местной системе координат с последующим их преобразованием в общую (глобальную) систему координат.

Узловые перемещения для конечного элемента из глобальной в местную систему координат преобразуем с помощью зависимости [1]

$$\{\delta'_s\} = [T_{\alpha s}] \cdot \{\delta_s\}, \quad (2)$$

где  $[T_{\alpha s}]$  – матрица преобразования координат.

**Получение расчетных зависимостей.** Расчет конечного элемента выполним методом перемещений [3], приняв за неизвестные перемещения конечных точек стержня ( $Z_j$ ), в которых стержень присоединяется к узлам конечно-элементной модели системы с помощью упругих связей (перемещения точек  $a$  и  $b$  на рис. 1). Характеристики упругих связей представлены величинами:  $C_1$ ,  $C_2$ ,  $C_3$  и  $C_7$ ,  $C_8$ ,  $C_9$  – жесткости линейных упругих связей по направлениям осей  $X'$ ,  $Y'$  и  $Z'$  соответственно в начале и в конце

*Игнатюк Валерий Иванович, кандидат технических наук, доцент, зав. кафедрой строительной механики Брестского государственного технического университета.*

*Игнатов Алексей Юрьевич, магистрант Брестского государственного технического университета. Беларусь, БрГТУ, 224017, г. Брест, ул. Московская, 267.*

элемента (рис. 2,а);  $C_4, C_5, C_6$  и  $C_{10}, C_{11}, C_{12}$  – жесткости угловых упругих связей относительно осей  $X', Y'$  и  $Z'$  соответственно в начале и в конце стержня (рис. 2,б).

Основную систему метода перемещений получим, установив по направлениям всех возможных линейных и угловых перемещений концов стержня в точках  $a$  и  $b$  дополнительные связи (рис. 3). Система уравнений метода перемещений в матричной форме имеет вид

$$[r] \cdot \{Z\} + \{R_F\} = 0, \quad (3)$$

где  $\{Z\}$  – вектор перемещений дополнительных связей (рис. 3);

$[r]$  – матрица реакций в дополнительных связях, возникающих при их единичных смещениях; элемент этой матрицы  $r_{ik}$  представляет собой реактивное усилие в направлении  $i$ -ой дополнительной связи (это могут быть силы в линейных связях, либо моменты в угловых связях) от единичного перемещения  $k$ -ой дополнительной связи (линейного смещения либо угла поворота);  $\{R_F\}$  – вектор реактивных усилий в дополнительных связях от внешних воздействий, в качестве которых здесь будут выступать перемещения узлов  $\delta'_i$  и внешние нагрузки, распределенные в общем случае по трапециoidalным зависимостям.

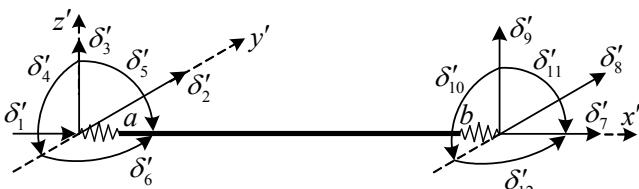


Рис. 1. Перемещения узлов для пространственного стержневого КЭ

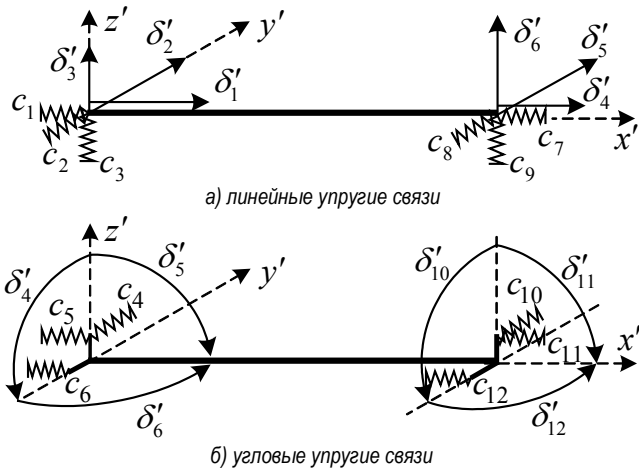


Рис. 2. Упругие связи пространственного стержневого КЭ

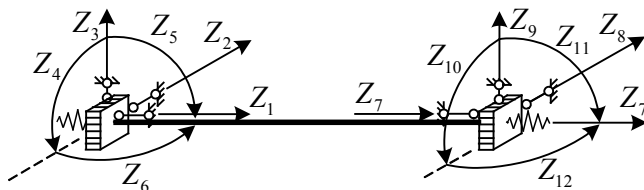


Рис. 3. Основная система метода перемещений

Для определения реакций в дополнительных связях от единичных перемещений узлов воспользуемся табличными эпюрами метода перемещений [3].

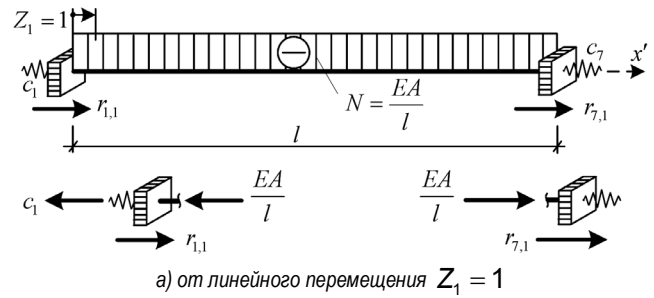
Построим от каждого из единичных перемещений эпюры усилий (изгибающих моментов) и найдем возникающие в дополнительных

связях реакции способом вырезания узлов. При этом учтем, что при единичном перемещении упругих связей в них возникают усилия (силы, моменты), равные величине жесткости соответствующих связей. На рис. 4 показаны соответствующие процедуры для перемещений  $Z_1 = 1, Z_2 = 1, Z_4 = 1$  и  $Z_6 = 1$ .

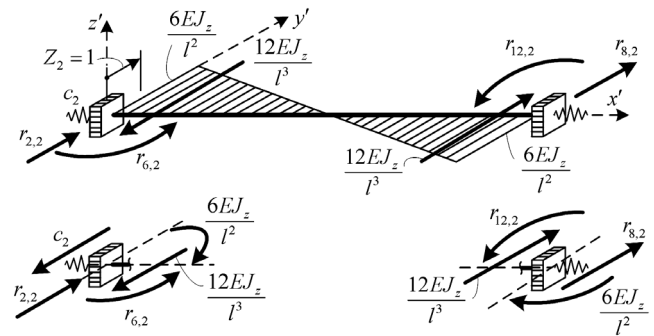
Для остальных восьми перемещений эти процедуры аналогичны. В результате из вырезания узлов и рассмотрения их равновесия получаем:

а) от перемещения  $Z_1 = 1$ :

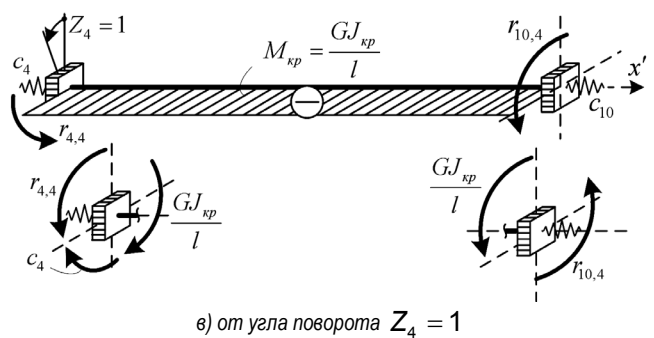
$$r_{1,1} = \frac{EA}{l} + c_1; \quad r_{7,1} = -\frac{EA}{l};$$



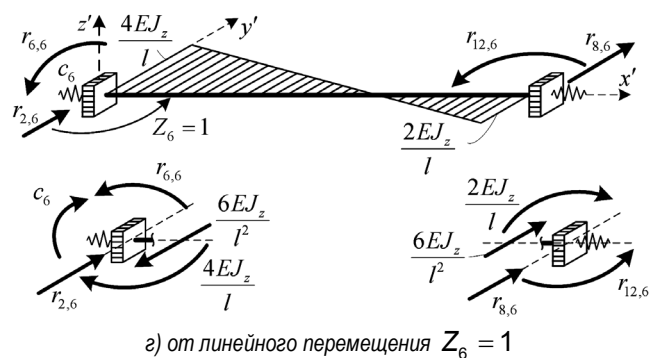
а) от линейного перемещения  $Z_1 = 1$



б) от линейного перемещения  $Z_2 = 1$



в) от угла поворота  $Z_4 = 1$



г) от линейного перемещения  $Z_6 = 1$

Рис. 4. Определение реакций в дополнительных связях от их единичных перемещений

б) от перемещения  $Z_2 = 1$ :

$$r_{2,2} = \frac{12EJ_z}{l^3} + c_2; \quad r_{6,2} = \frac{6EJ_z}{l^2};$$

$$r_{8,2} = -\frac{12EJ_z}{l^2}; \quad r_{12,2} = \frac{6EJ_z}{l^2};$$

в) от перемещения  $Z_4 = 1$ :

$$r_{4,4} = \frac{GJ_{кр}}{l} + c_4; \quad r_{10,4} = -\frac{GJ_{кр}}{l};$$

г) от перемещения  $Z_6 = 1$ :

$$r_{2,6} = \frac{6EJ_z}{l^2}; \quad r_{6,6} = \frac{4EJ_z}{l} + c_6;$$

$$r_{8,6} = -\frac{6EJ_z}{l^2}; \quad r_{12,6} = \frac{2EJ_z}{l}.$$

Реакции в дополнительных связях, возникающих от остальных восьми единичных перемещений этих связей, находятся аналогично. Матрица  $[r]$  в результате принимает вид (4).

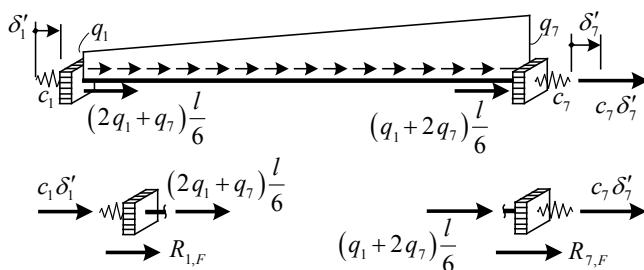


Рис. 5. Определение грузовых реакций по оси X

Свободные члены уравнения (3)  $R_{i,F}$  представляют собой реакции в дополнительных связях от внешних воздействий на рассматриваемый конечный элемент. В качестве внешних воздействий здесь выступают перемещения узлов  $\delta'_i$  и внешние нагрузки, распределенные по трапецидальным зависимостям. Перемещения

узлов  $\delta'_i$  будут вызывать в упругих связях усилия, равные произведению этих перемещений на величины, обратные жесткостям связей  $-\delta'_i \cdot (1/c_i)$ . Действие трапецидально распределенных нагрузок учтем с помощью зависимостей, полученных в [1], сложив действие равномерно распределенной и треугольно распределенной нагрузок.

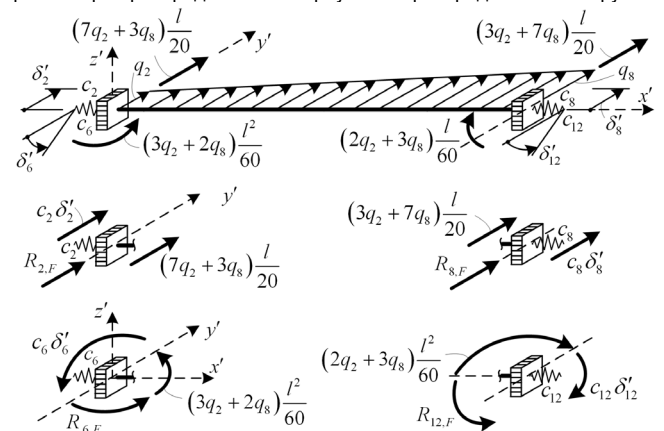


Рис. 6. Определение грузовых реакций в плоскости  $X'y'$

Определение грузовых реакций  $R_{i,F}$  для рассматриваемого стержня от перемещений узлов  $\delta'_i$  и распределенных нагрузок показано на рис. 5–7. Из вырезания узлов в методе перемещений и рассмотрения их равновесия получаем:

$$R_{1,F} = -c_1 \delta'_1 - (2q_1 + q_7) \frac{l}{6};$$

$$R_{2,F} = -c_2 \delta'_2 - (7q_2 + 3q_8) \frac{l}{20};$$

$$R_{3,F} = -c_3 \delta'_3 - (7q_3 + 3q_9) \frac{l}{20}; \quad R_{4,F} = -c_4 \delta'_4;$$

$$R_{5,F} = -c_5 \delta'_5 + (3q_3 + 2q_9) \frac{l^2}{60};$$

$$\{r\} = \begin{bmatrix} \frac{EA}{l} + c_1 & 0 & 0 & 0 & 0 & 0 & -\frac{EA}{l} & 0 & 0 & 0 & 0 & 0 \\ 0 & \frac{12EJ_z}{l^3} + c_2 & 0 & 0 & 0 & \frac{6EJ_z}{l^2} & 0 & -\frac{12EJ_z}{l^3} & 0 & 0 & 0 & \frac{6EJ_z}{l^2} \\ 0 & 0 & \frac{12EJ_y}{l^3} + c_3 & 0 & -\frac{6EJ_y}{l^3} & 0 & 0 & 0 & -\frac{12EJ_y}{l^3} & 0 & -\frac{6EJ_y}{l^2} & 0 \\ 0 & 0 & 0 & \frac{GJ_{кр}}{l} + c_4 & 0 & 0 & 0 & 0 & 0 & -\frac{GJ_{кр}}{l} & 0 & 0 \\ 0 & 0 & -\frac{6EJ_y}{l^2} & 0 & \frac{4EJ_y}{l} + c_5 & 0 & 0 & 0 & \frac{6EJ_y}{l^2} & 0 & \frac{2EJ_y}{l} & 0 \\ 0 & \frac{6EJ_z}{l^2} & 0 & 0 & 0 & \frac{4EJ_z}{l} + c_6 & 0 & -\frac{6EJ_z}{l^2} & 0 & 0 & 0 & \frac{2EJ_z}{l} \\ \hline -\frac{EA}{l} & 0 & 0 & 0 & 0 & 0 & \frac{EA}{l} + c_7 & 0 & 0 & 0 & 0 & 0 \\ 0 & -\frac{12EJ_z}{l^3} & 0 & 0 & 0 & -\frac{6EJ_z}{l^2} & 0 & \frac{12EJ_z}{l^3} + c_8 & 0 & 0 & 0 & -\frac{6EJ_z}{l^2} \\ 0 & 0 & -\frac{12EJ_y}{l^3} & 0 & \frac{6EJ_y}{l^2} & 0 & 0 & 0 & \frac{12EJ_y}{l^3} + c_9 & 0 & \frac{6EJ_y}{l^2} & 0 \\ \hline 0 & 0 & 0 & -\frac{GJ_{кр}}{l} & 0 & 0 & 0 & 0 & 0 & \frac{GJ_{кр}}{l} + c_{10} & 0 & 0 \\ 0 & 0 & -\frac{6EJ_y}{l^2} & 0 & \frac{2EJ_y}{l} & 0 & 0 & 0 & \frac{6EJ_y}{l^2} & 0 & \frac{4EJ_y}{l} + c_{11} & 0 \\ 0 & \frac{6EJ_z}{l^2} & 0 & 0 & 0 & \frac{2EJ_z}{l} & 0 & -\frac{6EJ_z}{l^2} & 0 & 0 & 0 & \frac{4EJ_z}{l} + c_{12} \end{bmatrix} \quad (4)$$

$$\begin{aligned}
 R_{6,F} &= -c_6 \delta'_6 - (3q_2 + 2q_8) \frac{l^2}{60} \\
 R_{7,F} &= -c_7 \delta'_7 - (q_1 + 2q_7) \frac{l}{6}; \\
 R_{8,F} &= -c_8 \delta'_8 - (3q_2 + 7q_8) \frac{l}{20}; \\
 R_{9,F} &= -c_9 \delta'_9 - (3q_3 + 7q_9) \frac{l}{20}; \quad R_{10,F} = -c_{10} \delta'_{10}; \\
 R_{11,F} &= -c_{11} \delta'_{11} - (2q_3 + 3q_9) \frac{l^2}{60}; \\
 R_{12,F} &= -c_{12} \delta'_{12} + (2q_2 + 3q_8) \frac{l^2}{60}.
 \end{aligned}
 \tag{5}$$

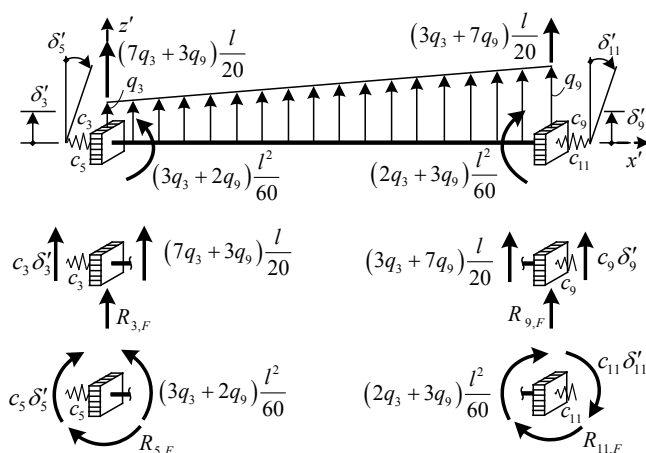


Рис. 7. Определение грузовых реакций в плоскости  $x'z'$

Таким образом, матрица  $\{R_F\}$  определена. Решая систему уравнений метода перемещений (3) найдем перемещения  $\{Z\}$  концов стержня, упруго-податливо присоединяемого к узлам системы.

После этого перемещения любого сечения стержня в местной системе координат определим на основе дифференциальных зависимостей

$$\frac{du'_1}{dx} = \frac{N}{EA}; \quad \frac{d^2u'_2}{dx^2} = \frac{M_z}{EJ_z}; \quad \frac{d^2u'_3}{dx^2} = \frac{M_y}{EJ_y}.$$

Для определения продольных перемещений сечений стержня, на который действует распределенная вдоль оси стержня по трапециевидальной зависимости нагрузка (рис. 5), получим выражение

$$\frac{du'_1}{dx} = \frac{N}{EA} = \frac{1}{EA} \left( r'_1 - q_1 x - \frac{q_7 - q_1}{2l} x^2 \right),$$

проинтегрировав которое и подставив граничное условие (при  $x = 0$   $u_1 = Z_1$ ), получим

$$u'_1 = \frac{1}{EA} \left( -r'_1 x - q_1 \frac{x^2}{2} - \frac{q_7 - q_1}{6l} x^3 \right) + Z_1,$$

где  $r'_1 \dots r'_{12}$  – здесь и далее реакции по концам стержня, полученные из расчета системы методом конечных элементов [1] в местной системе координат.

В плоскости  $x'y'$ , в которой действует распределенная по трапециевидальному закону поперечная нагрузка, представленная на рисунке 6, будем иметь

$$\frac{d^2u'_2}{dx^2} = \frac{M_z}{EJ_z} = \frac{1}{EJ_z} \left( -r'_6 + r'_2 x + \frac{q_2}{2} x^2 + \frac{q_8 - q_2}{6l} x^3 \right). \tag{6}$$

Проинтегрируем это выражение два раза и, подставив граничные условия, найдем постоянные интегрирования. Граничные условия при жестком присоединении к начальному узлу записываются в

виде: при  $x = 0$ ,  $y = Z_2$ ,  $\varphi_z = \frac{du'_2}{dx} = -Z_6$ . В результате

получим зависимости для линейных перемещений сечений рассматриваемого стержня в направлении оси  $y'$  и углов поворота относительно оси  $z'$ :

$$u'_2 = Z_2 + Z_6 x + \frac{1}{EJ_z} \left( -r'_6 \frac{x^2}{2} + r'_2 \frac{x^3}{6} + q_2 \frac{x^4}{24} + \frac{q_8 - q_2}{120l} x^5 \right);$$

$$u'_6 = \varphi_z = Z_6 + \frac{1}{EJ_z} \left( -r'_6 x + r'_2 \frac{x^2}{2} + q_2 \frac{x^3}{6} + \frac{q_8 - q_2}{24l} x^4 \right).$$

Аналогично найдем и зависимости для перемещений и угла поворота сечений стержня в плоскости  $x'z'$  (рис. 7):

$$u'_3 = Z_3 - Z_5 x + \frac{1}{EJ_y} \left( r'_5 \frac{x^2}{2} + r'_3 \frac{x^3}{6} + q_3 \frac{x^4}{24} + \frac{q_9 - q_3}{120l} x^5 \right);$$

$$u'_5 = \varphi_y = -Z_5 + \frac{1}{EJ_y} \left( r'_5 x + r'_3 \frac{x^2}{2} + q_3 \frac{x^3}{6} + \frac{q_9 - q_3}{24l} x^4 \right)$$

Для стержня, присоединяющегося к начальному узлу шарнирно, граничные условия в плоскости  $x'y'$  будем иметь в виде: при  $x = 0$ ,  $y = Z_2$  при  $x = l$ ,  $y = Z_6$ . Подставляя их в первую производную от выражения (6), получим для перемещений и углов поворота сечений стержня зависимости

$$\begin{aligned}
 u'_2 = Z_2 + \frac{Z_8 - Z_2}{l} x + \frac{1}{EJ_z} \left( r'_2 \frac{x^3}{6} + \frac{q_2}{24} x^4 + \frac{q_8 - q_2}{120l} x^5 \right) - \\
 - \frac{l^2}{6EJ_z} \left( r'_2 + \frac{4q_2 + q_8}{20} l \right) x,
 \end{aligned}$$

$$\begin{aligned}
 u'_6 = \varphi_z = \frac{Z_8 - Z_2}{l} + \frac{1}{EJ_z} \left( r'_2 \frac{x^2}{2} + \frac{q_2}{6} x^3 + \frac{q_8 - q_2}{24l} x^4 \right) - \\
 - \frac{l^2}{6EJ_z} \left( r'_2 + \frac{4q_2 + q_8}{20} l \right).
 \end{aligned}$$

Аналогично получим и зависимости для перемещений сечений стержня шарнирно присоединяемого слева и нагруженного трапециевидально распределенной нагрузкой, в плоскости  $x'z'$ :

$$\begin{aligned}
 u'_3 = Z_3 + \frac{Z_9 - Z_3}{l} x + \frac{1}{EJ_y} \left( r'_3 \frac{x^3}{6} + \frac{q_3}{24} x^4 + \frac{q_9 - q_3}{120l} x^5 \right) - \\
 - \frac{l^2}{6EJ_y} \left( r'_3 + \frac{4q_3 + q_9}{20} l \right) x,
 \end{aligned}$$

$$\begin{aligned}
 u'_5 = \varphi_y = \frac{Z_9 - Z_3}{l} + \frac{1}{EJ_y} \left( r'_3 \frac{x^2}{2} + \frac{q_3}{6} x^3 + \frac{q_9 - q_3}{24l} x^4 \right) - \\
 - \frac{l^2}{6EJ_y} \left( r'_3 + \frac{4q_3 + q_9}{20} l \right).
 \end{aligned}$$

Теперь координаты любого сечения рассматриваемого элемента [1] в пространственных стержневых конечных элементах  $\{X_{сеч}\}$ , упруго-податливо присоединяющихся к узлам и нагруженным трапецидально распределенными нагрузками, в глобальной системе координат можно определить (рис. 8), добавив к исходным координатам начального узла элемента (узла А) в расчетной дискретной модели сумму координат сечения в местной системе координат  $\{X'_{сеч}\}$  и перемещений сечения  $\{u\}$  (в местной системе координат), вызванных деформацией стержня, преобразованную к общей системе координат с помощью матрицы преобразования  $[T_{\alpha\beta}]$ :

$$\begin{aligned} \{X_{сеч}\} &= \{X_A\} + [T_{\alpha\beta}]^T \cdot \left\{ \{X'_{сеч}\} + \{u'\} \right\} = \\ &= \begin{Bmatrix} X_A \\ Y_A \\ Z_A \end{Bmatrix} + [T_{\alpha\beta}]^T \cdot \left\{ \begin{Bmatrix} X'_{сеч} \\ 0 \\ 0 \end{Bmatrix} + \begin{Bmatrix} u'_1 \\ u'_2 \\ u'_3 \end{Bmatrix} \right\}. \end{aligned}$$

**Заключение.** В работе получены зависимости для определения перемещений сечений пространственных стержневых конечных элементов, упруго-податливо присоединяющихся к узлам расчетной дискретной модели сооружения, позволяющие определить координаты любого сечения после деформирования сооружения.

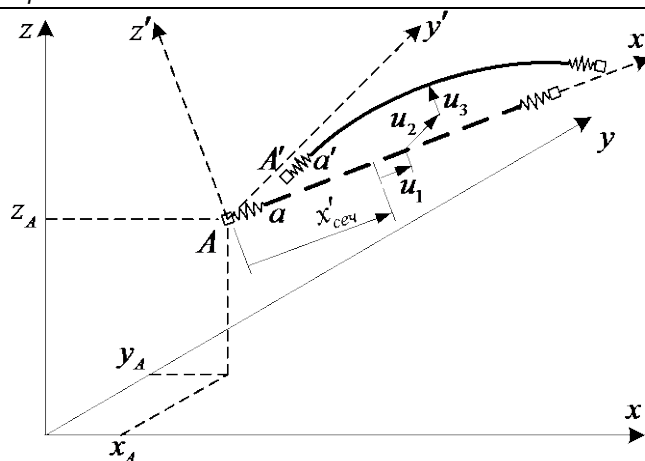


Рис. 8. Перемещения сечения конечного элемента

**СПИСОК ЦИТИРОВАННЫХ ИСТОЧНИКОВ**

1. Игнатюк, В.И. Метод конечных элементов в расчетах стержневых систем: учебное пособие / В.И. Игнатюк. – Брест, 2004. – 172 с.
2. Игнатюк, В.И. Об учете упругой податливости узловых соединений в расчетах методом конечных элементов пространственных стержневых систем / В.И. Игнатюк, А.Ю. Игнатов // Вестник БрГТУ. – 2004. – № 1(25): Строительство и архитектура. – С. 118–122.
3. Дарков, А.В. Строительная механика / А.В. Дарков, Н.Н. Шапошников. – М.: Высшая школа, 1986. – 607 с.

Материал поступил в редакцию 03.12.07

**IGNATIUK V.I., IGNATOV A J. Deforming of the solid core finite element elastically attached to nodes**

The dependences for defining shifts of the sections of the solid core finite elements, that elastically attach to nodes of the calculated discrete model of a construction, are got and admit to define coordinates of any section deformed construction.

УДК 681.3:519.3

**Игнатюк В.И., Игнатов А.Ю.**

**АВТОМАТИЗИРОВАННАЯ СИСТЕМА СТАТИЧЕСКОГО РАСЧЕТА ПРОСТРАНСТВЕННЫХ СТЕРЖНЕВЫХ СИСТЕМ НА БАЗЕ МЕТОДА КОНЕЧНЫХ ЭЛЕМЕНТОВ**

**Введение.** Расчет сооружений методом конечных элементов широко распространен в настоящее время [1]. При этом вручную выполнить расчет даже небольшого реального сооружения практически невозможно из-за большого объема вычислений и необходимости решения систем уравнений большого порядка. В данной работе рассматривается созданная авторами компьютерная программа статического линейного расчета пространственных стержневых систем на действие внешних нагрузок, в основу которой положены зависимости метода конечных элементов, полученные авторами [2, 4] и позволяющие учитывать упруго-податливое присоединение конечных элементов к узлам и действие трапецидально распределенных нагрузок.

**Алгоритм расчета.** Рассматривается расчет пространственных стержневых систем методом конечных элементов [1] с учетом упругой податливости узловых соединений. В каждом узле таких систем имеем шесть независимых перемещений – три линейных перемещения по направлениям осей X, Y и Z общей декартовой системы координат и три угла поворота относительно этих осей. Основное разрешающее уравнение метода конечных элементов имеет вид

$$[K] \cdot \{\Delta\} = \{F\}, \quad (1)$$

где  $[K]$  – матрица жесткости системы;  $\{\Delta\}$  – вектор перемещений узлов системы;  $\{F\}$  – вектор внешних узловых нагрузок.

Выражения матриц жесткости конечных элементов, процедура формирования матрицы жесткости системы и выражения векторов внешних узловых нагрузок представлены в работе [2].

Упруго-податливое присоединение конечных элементов к узлам расчетной дискретной модели метода конечных элементов реализуется с помощью упругих связей (рис. 1), характеристики которых пред-

ставлены величинами:  $C_1, C_2, C_3$  и  $C_7, C_8, C_9$  – жесткости линейных упругих связей по направлениям осей  $X', Y'$  и  $Z'$  соответственно в начале и в конце стержня (рис. 1,а);  $C_4, C_5, C_6$  и  $C_{10}, C_{11}, C_{12}$  – жесткости угловых упругих связей относительно осей  $X', Y'$  и  $Z'$  соответственно в начале и в конце элемента (рис. 1, б).

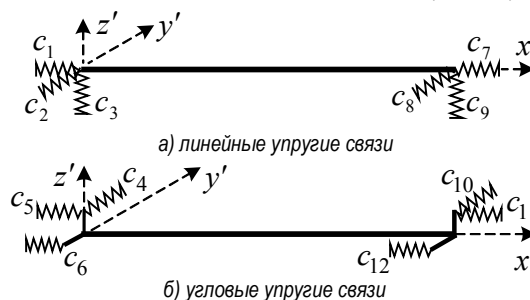


Рис. 1. Упругие связи пространственного стержневого КЭ

Зависимости для определения перемещений сечений пространственных стержневых конечных элементов, упруго-податливо присоединяющихся к узлам расчетной дискретной модели сооружения, получены в работе [4]. Эти зависимости позволяют определить координаты любого сечения после деформирования системы и соответственно деформированный вид сооружения.

Решение системы разрешающих уравнений выполняется способом Гаусса с проверкой точности решения после выполнения обратного хода и, при необходимости, итерационным процессом уточнения решения.